

Hydrodynamic and Hydromagnetic Stability[1]

C1SB2064 辻 勇吹樹

2024年11月26日

III. 下から温められた流体の層の熱的不安定

2. 回転の効果

29. 過安定での対流の始まり 両方自由境界における解

26節では $\sigma = 0$ が臨界状態として議論した。本説では本当に $\sigma = 0$ を通って不安定になるかを、特に過安定 (overstability) について検討する。ただし以下にいくつかの過程をする。

- 両端が自由境界で解析解が得られる場合で考える。一般の場合は30節で検討する。
- σ は準虚数とする。2章では対流による不安定であったため実であったが、ここでは振動による不安定を議論するため。両方の組み合わせのような不安定は考えない。
- より低いレイリー数 (浮力/粘性) で不安定が起こる。後で証明する。

まずは最低次のレイリー数を求める。(95)式に $(D^2 - a^2 - \sigma)(D^2 - a^2 - p\sigma)$ をかけると、左辺第2項は(94)式より

$$-\left(\frac{2\Omega}{\nu}d^3\right)(D^2 - a^2 - p\sigma)D \cdot (D^2 - a^2 - \sigma)Z = \left(\frac{4\Omega^2}{\nu^2}d^4\right)(D^2 - a^2 - p\sigma)D^2W \quad (1)$$

$$= (D^2 - a^2 - p\sigma) \cdot TD^2W \quad (2)$$

右辺は (93) 式より

$$\left(\frac{g\alpha}{\nu}d^2\right)a^2(D^2 - a^2 - \sigma) \cdot (D^2 - a^2 - p\sigma)\Theta = -\left(\frac{g\alpha\beta}{\kappa\nu}d^4\right)a^2(D^2 - a^2 - \sigma)W \quad (3)$$

$$= -Ra^2(D^2 - a^2 - \sigma)W \quad (4)$$

となる。したがって左辺第 1 項と組み合わせて (211) 式

$$(D^2 - a^2 - p)[(D^2 - a^2 - \sigma)^2(D^2 - a^2) + TD^2]W = -Ra^2(D^2 - a^2 - \sigma)W \quad ([211])$$

が得られる。

さらに (212) 式の最低次のモードを代入すると (213) 式、 π^2 で変数を規格化すると (215) 式が得られる。レイリー数はその定義から実であるはずなので、実数部分と虚数部分に分離すると (217) 式になる。また (219) 式の関係式、および (221) 式を用いると

$$R_1 = \frac{1+x}{x} \left\{ (1+x)^2 - p\sigma_1^2 + \frac{T_1}{1+x} - (1+p)\sigma_1^2 \right\} \quad (5)$$

$$= \frac{1}{x} \left[(1+x)^3 + T_1 - (1+x)(1+2p)\sigma_1^2 \right] \quad ([220])$$

$$= \frac{1}{x} \left[(1+x)^3 + T_1 - (1+x)(1+2p) \left\{ \frac{T_1}{1+x} \frac{1-p}{1+p} - (1+x)^2 \right\} \right] \quad (6)$$

$$= \frac{1}{x} \left[(1+x)^3(1+(1+2p)) + T_1 \left\{ 1 - \frac{(1+2p)(1-p)}{1+p} \right\} \right] \quad (7)$$

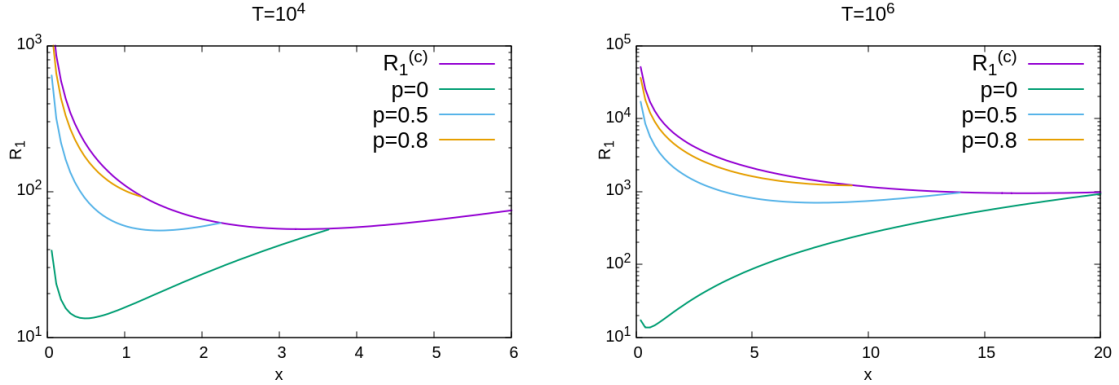
$$= 2(1+p) \frac{1}{x} \left[(1+x)^3 + \frac{p^2}{(1+p)^2} T_1 \right] \quad ([222])$$

となる。

(218) 式の右辺が正である、すなわち σ が準虚数であるための必要条件是 (223) 式で与えられる。特に $p = \nu/\kappa$ が 1 よりも大きいときは粘性の効果が強くなり、これまで述べてきたように σ が実数となって対流不安定が起きる。1 以下で必ず overstability になることはなく、後述する。ここでは $p < 1$ の範囲で考える。また波数 (を規格化した) x から見ると、 p, T を決めたときに (225) 式が overstability を起こすことのできる上限の $x = x_*$ である。

特に $\sigma = 0$ では (227) 式であり、これを (228) 式 (= (222) 式) と比較することでどちらが最小のレイリー数をとるかを比べることができる。下図は $T = 10^4, 10^6$ での 2 つの式の比較である。

$$R_1^{(c)} = \frac{1}{x} [(1+x)^3 + T_1] \quad ([227])$$



例えば $T = 10^4$ では $p = 0, 0.5$ の場合 (228) 式の方の最小値のほうが小さくなる。不安定はレイリー数のより小さな方から生じるという仮定をしていたため、この場合は overstability が生じる。一方 $p = 0.8$ では定常の対流が生じる。 $T = 10^4$ では $p = 0.5126$ が 2 つの不安定の境界となる。 T を変化させると境界の p も変化する。もう一度 p の視点に戻り、 $T \rightarrow \infty$ としたときの不安定性の境界となる p を求める。まず、 $R_1^{(c)}, R_1^{(o)}$ の最小値を考える。 $R_1^{(o)}$ の $2(1+p)$ の右側の部分は

$$T_1 \rightarrow \frac{p^2}{(1+p)^2} T_1 \quad (8)$$

とすれば $R_1^{(c)}$ と同じ形である。したがって (133) 式を参考にすると π^4 で規格化した R_1 の最小値は (229) 式で与えられる。境界では両者が等しいので

$$3\left(\frac{1}{2}T_1\right)^{2/3} = 2(1+p) \left\{ 3\left[\frac{1}{2}\frac{p^2}{(1+p)^2}T_1\right]^{2/3} \right\} \quad (9)$$

$$1 = 2(1+p) \left[\frac{p^2}{(1+p)^2} \right]^{2/3} \quad (10)$$

$$1 = 2\frac{p^{4/3}}{(1+p)^{1/3}} \quad (11)$$

$$p \approx 0.676604 = p^* \quad (12)$$

が $T_q \rightarrow \infty$ のときの境界となる。 $R_1^{(c)}, R_1^{(o)}$ の最小値は T_1 の増加とともに単調増加するので、 $p > p^*$ ではすべての T_1 で $R_{1,min}^{(c)} < R_{1,min}^{(o)}$ となる。したがって $p^* > 1$ の場合も含めて

- $1 < p$ では安定性交換の原理 ($\text{Im}(\sigma) = 0$) が成り立ち、overstability は起こらない。
- $p^* < p < 1$ では不安定の始まりは定常 ($\sigma = 0$) の対流。

- $p < p^*$ では、不安定の始まりはある臨界のレイリー数 $T_1^{(p^*)}$ までは定常の対流であり、それ以上のレイリー数になると overstability となる

とまとめることができる。表 X に各 p^* での臨界のレイリー数と、境界になっているときのレイリー数がまとめられている。FIG.28 は $p^* - T^{(p^*)}$ グラフであり、曲線の上側かつ $p < 1$ に囲まれた領域は overstability に必要なレイリー数よりも不安定が開始するレイリー数よりも大きい。

overstability が起きるときの R_c, a_c は (130) 式と (222) 式 (の規格化を戻したもの) を比較すると

$$T \rightarrow \frac{p^2}{(1+p)^2} T \quad (13)$$

$$R_c \rightarrow 2(1+p)R_c \quad (14)$$

となっているだけなので、表 IX および極限は (234)-(237) 式となる。ただし $p = 0$ の粘性がない場合は 32 節で述べられる。

最後により低いレイリー数で不安定が起こることを証明する。 σ_1 を準虚数として $i\sigma_1 = \sigma_1$ に置き換えると、(239) 式の 3 次方程式と (241) 式の関係式が得られる。ただし

$$BC - D = \frac{1}{p^2} \left[\{(1+x)(1+2p)\} \left\{ (2+p)(1+x)^2 + p \frac{T_1}{1+x} - R_1 \frac{x}{1+x} \right\} - p \{ (1+x)^3 + T_1 - R_1 x \} \right] \quad (15)$$

$$= \frac{1}{p^2} \left[(1+x)^3 \{ (1+2p)(2+p) - p \} + T_1 \{ (1+2p) - p \} + R_1 x \{ -(1+2p) + p \} \right] \quad (16)$$

$$= \frac{1}{p^2} \left[2(1+p)^2(1+x)^3 + 2p^2 T_1 - (1+p)R_1 x \right] \quad (17)$$

$$= \frac{1+p}{p^2} \left[2(1+p) \left\{ (1+x)^3 + \frac{p^2}{(1+p)^2} T_1 \right\} - R_1 x \right] \quad (18)$$

として式が少し異なることに注意する。またその確認として $D=0$ におけるレイリー数が (227) 式、 $BC-D=0$ におけるレイリー数が (228) 式に対応する。 $D = 0$ ならば $\sigma = 0$ は

3 次方程式の解である。また方程式を実数部と虚数部に分けると、それぞれ

$$-|\sigma_1|^2 + C = 0 \quad (19)$$

$$-B|\sigma_1|^2 + D = 0 \quad (20)$$

$$\Rightarrow |\sigma_1|^2 = C = D/B \quad (21)$$

となる。3 次方程式なので実数解を 1 つ持つが、 $D > 0$ ならばその解は負になる。したがって 3 次方程式を ($d > 0$ として)

$$(\sigma_1^2 + 2b\sigma_1 + c)(\sigma_1 + d) = 0 \quad (22)$$

と書き直すと、(243)-(245) 式の対応が得られる。また解は

$$\sigma_1 = -d, -b \pm \sqrt{b^2 - c} \quad (23)$$

となる。まず $R_1 = 0$ のときを考えると、(240),(245) 式を見ると $b > 0, c > 0$ が分かる。 R_1 が大きくなると、実数解と複素数解の実部が 0 に近づいていく。それぞれが 0 になるときは、前述したように $R_1^{(c)}, R_1^{(o)}$ のレイリー数の式が与えられる。

このことを σ_1 の解に注目すると、まず $R_1 = 0$ ではすべての解の実部が負であり、安定となる ($\propto \exp(pt)$)。その実部が 0 になるということは臨界状態を意味していて、 $D = 0$ は定常の対流、 $BC - D = 0$ は overstability の臨界状態である。一方が臨界状態となるレイリー数に達すると不安定が始まるため、より低いレイリー数で不安定が始まる。したがって証明された。

参考文献

- [1] S. Chandrasekhar. *Hydrodynamic and Hydromagnetic Stability*. International series of monographs on physics. Clarendon Press, 1961.